

также перспективным использование волоконно-оптического МСМ для исследования доменной структуры ферромагнитного материала [4].

С п и с о к л и т е р а т у р ы

- [1] R u g a r D., M a m i n H.J., E r l a n d - s s o n R., S t e r n J.E., T e r r i s B.D. // Rev. Sci. Instrum. 1988. V. 59. P. 2337.
- [2] Л и с т в и н В.Н., А л е к с а н д р о в А.Ю., К о - з ел С.М., Ч у р е н к о в А.В. // Письма в ЖТФ. 1990. Т. 16. В. 15. С. 36.
- [3] К о т о в Е.П., Р у д е н к о М.И. Носители магнитной записи. М.: Радио и связь, 1990. 269 с.
- [4] Б л ю ш к е А., З у б о в В.Е., К р и н ч и к Г.С., К у з ъ м е н к о С.Н., Ш на й д е р Б. // Письма в ЖТФ. 1990. Т. 16. В. 8. С. 16.

Поступило в Редакцию
4 января 1991 г.

Письма в ЖТФ, том 17, вып. 5

12 марта 1991 г.

05; 07

(C) 1991

НИЗКОТЕМПЕРАТУРНЫЙ ЛАЗЕРНЫЙ ОТЖИГ ДЕФЕКТОВ,
ОТВЕТСТВЕННЫХ ЗА ИНФРАКРАСНОЕ ПОГЛОЩЕНИЕ
В АРСЕНИДЕ ГАЛЛИЯ

З.В. Д ж и б у т и, Н.Д. Д о л и д з е

Спектры поглощения арсенида галлия, облученного электронами при температуре $T = 77$ или 300 К исследовались в ряде работ [1-5]. Исследования показали наличие в спектрах поглощения облученных образцов полосы оптического поглощения в области 1.0 эВ. В образцах, облученных электронами при $T = 77$ К, с увеличением дозы облучения, начиная с $1 \cdot 10^{18} \text{ см}^{-2}$, эта полоса перекрывается с более широкой полосой поглощения 0.8 эВ [3-5].

В настоящей работе представлены результаты исследования спектров поглощения образцов арсенида галлия п- или р-типа, легированного теллиумом или цинком до концентраций 10^{16} см^{-3} или $2 \cdot 10^{17} \text{ см}^{-3}$ соответственно, облученных при $T = 77$ или 300 К электронами с энергией 3 МэВ ($\Phi = 10^{16} - 3 \cdot 10^{18} \text{ см}^{-2}$). На исследуемых образцах проводился лазерный и изохронный термический отжиг. Во избежание нагрева кристаллов во время лазерного от-

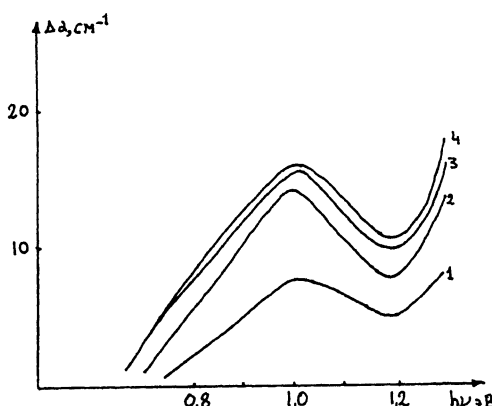


Рис. 1. Изменение спектров поглощения $n\text{-GaAs}$ при электронном облучении ($T_{\text{обл}} = 300 \text{ K}$) и последующем лазерном ($P = 50 \text{ Вт}$) отжиге: 1 — до лазерного отжига, 2 — $t = 32 \text{ мин}$, 3 — $t = 50 \text{ мин}$, 4 — $t = 58 \text{ мин}$.

жига они помещались в среду жидкого азота. Температура образцов в процессе лазерного воздействия оставалась ниже комнатной [6].

Для проведения лазерного отжига использовался лазер, работающий на длине волны 1064.1 нм. Мощность излучения менялась в диапазоне 30–50 Вт. Диаметр светового пятна в плоскости образца был равен 3 мм. Лазерный луч во время отжига перемещался по поверхности образца со скоростью 1 мм с^{-1} . Длительность отжига составляла 2–60 мин. Вместе с облученными электронами образцами лазерному воздействию подвергались и контрольные образцы. Исследования спектров поглощения ($\Delta\alpha$) проводились методом, описанным в работе [3].

На рис. 1 показано изменение спектров оптического поглощения арсенида галлия п-типа после электронного облучения при $T = 77 \text{ K}$ и последующего лазерного воздействия. Как видно из рис. 1, создаваемые облучением в арсениде галлия радиационные дефекты стимулируют возникновение интенсивного поглощения с максимумом в области спектра 1.0 эВ. Лазерное воздействие приводит к еще большему увеличению интенсивности поглощения. Облучение арсенида галлия электронами при $T = 77 \text{ K}$ вызывает возникновение полосы поглощения с максимумом в области спектра 0.8 эВ (рис. 2). Как показано в работе [3], термический отжиг образцов до $T = 300 \text{ K}$ приводит как к уменьшению интенсивности поглощения, так и сдвигу его максимума от 0.8 к 1.0 эВ.

Однако лазерное воздействие на образцы, облученные электронами при $T = 77 \text{ K}$ и отожженные термически до 300 К, приводит к противоположному эффекту по сравнению с предыдущим экспериментом. Наблюдается уменьшение поглощения (рис. 2).

Следует отметить, что увеличение мощности лазерного излучения от 30 до 50 Вт, т.е. увеличение интенсивности фотонов, па-

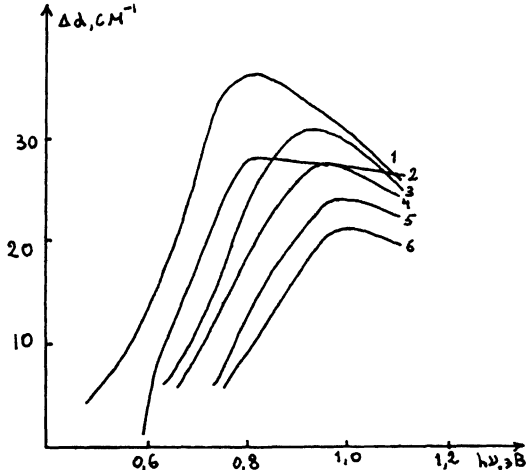


Рис. 2. Изменение спектров поглощения в результате лазерного отжига $n\text{-GaAs}$ (1, 3, 5) и $p\text{-GaAs}$ (2, 4, 6), облученных электронами ($T_{обл} = 77$ К) и отожженных термически до 300 К; 1, 2 – после облучения электронами; 3, 4 – после термического отжига; 5, 6 – после последующего лазерного отжига. $P = 50$ Вт, $t = 32$ мин.

дающих на единицу площади образца, при постоянной длительности обработки приводит к увеличению эффекта восстановления спектров поглощения. С увеличением длительности лазерного воздействия при постоянной мощности лазерного излучения наблюдается уменьшение $\Delta\alpha$ до некоторых значений, зависящих от мощности излучения. Дальнейшее увеличение длительности лазерного воздействия не дает заметного изменения $\Delta\alpha$.

Вышеизложенные эксперименты подтверждают предположение, высказанное в работах [3, 4], о различной природе дефектов, ответственных за полосы инфракрасного поглощения в арсениде галлия, облученном электронами при $T = 77$ или 300 К.

При этом показана возможность отжига и трансформации сложных радиационных дефектов при низких температурах с помощью фотонного воздействия.

С п и с о к л и т е р а т у р ы

- [1] Арефьев К.П., Брудный В.Н., Будницкий Д.Л., Воробьев С.А., Цой А.А. // ФТП. 1979. Т. 13. В. 6. С. 1142–1146.
- [2] Памбухчян Н.Х. Исследование процессов образования и отжига точечных радиационных дефектов в кристаллах Al_3B_5 , облученных быстрыми электронами. Дис. на соискание уч. ст. канд. физ.-мат. наук. Киев – Ереван. 1983. 157 с.

- [3] Джибути З.В., Долидзе Н.Д., Офенгейм Г.Л., Рехвиашвили Д.Н., Чолокашвили Т.С. // ФТП. 1987. Т. 21. В. 5. С. 930-932.
- [4] Гочалеишвили Н.Г., Джибути З.В., Долидзе Н.Д., Чолокашвили Т.С. // Тез. докл. У1 респ. коллоквиума „Оптика и спектроскопия полупроводников и диэлектриков”. Сухуми, 1987. С. 96-99.
- [5] Джибути З.В. Исследования свойств радиационных дефектов в *GaAs* и механизма их лазерного отжига. Дис. на соискание уч. ст. канд. физ.-мат. наук. Тбилиси, 1989. 169 с.
- [6] Двуреченский А.В., Качурин Г.А., Нидаев Е.В., Смирнов Л.С. Импульсный отжиг полупроводниковых материалов. М.: Наука, 1982. 208 с.

Поступило в Редакцию
4 января 1991 г.

Письма в ЖТФ, том 17, вып. 5

12 марта 1991 г.

01; 05.4; 08

(C) 1991

О ГЕОМЕТРИЧЕСКОЙ ФАЗЕ ВРАЩЕНИЯ И
ЕЕ НАБЛЮДЕНИЯ В УСЛОВИЯХ
КВАНТОВОЙ ИНТЕРФЕРЕНЦИИ

А.С. Довгопольый, О.А. Токалин

Сравнительно недавно М. Берри обнаружил [1], что квантовые системы, описываемые гамильтонианом $\mathcal{H}(x^j)$, при циклической адиабатической эволюции в пространстве параметров x^j , которая может быть представлена в виде замкнутого контура C , не изменения своего состояния, приобретают дополнительный фазовый сдвиг волновой функции (ВФ) состояния, названный им геометрической фазой:

$$\Delta\theta_B = \frac{1}{\hbar} \oint_C A_j dx^j = \frac{1}{\hbar} \iint_{S_C} (\text{rot } A)_{ij} d\sigma^{ij}, \quad (1)$$

где $A_j = i\hbar(\psi, \nu_j \psi)$ имеет смысл „индуцированного калибровочного потенциала“ [2], S_C – любая натянутая на контур C поверхность и $d\sigma^{ij}$ – элемент этой поверхности в пространстве параметров x^j . Вследствие калибровочной инвариантности геометрическая фаза $\Delta\theta_B$ не зависит от выбора базиса собственных ВФ гамильтониана $\mathcal{H}(x^j)$ и определяется англономностью про-